

การวิเคราะห์ผลของความต้านทานเนื่องจากสนามแม่เหล็ก (Magnetoresistance) ที่  
มีต่อการวัด  $R_H$

ในการทดลองหา  $R_H$  แบบธรรมดาของผลึก A ซึ่งวางในสนามแม่เหล็ก  
แสดงในรูป (3.4) หน้า (44) ให้กระแสเข้า A ไป B และ B ไป A  
1.000 mA ในการทดลองที่ทำใหม่นี้ได้ลองเปลี่ยนทิศทางของสนามแม่เหล็กด้วย ผล  
การทดลองแสดงในรูป (A<sub>1</sub>) และ (A<sub>2</sub>) พบว่าได้กราฟเป็นเส้นตรง แสดงว่า  
ความต้านทานที่เกิดขึ้นเนื่องจากสนามแม่เหล็กมีผลต่อการวัด  $R_H$  แบบธรรมดาน้อยมาก  
ตามทฤษฎี

$$V_{25} = V_{25}(B=0) + aB + bB^2 \quad (A 1)$$

$$\frac{dV_{25}}{dB} = a + 2bB \quad (A 2)$$

เทอม  $bB^2$  ใน (A1) เป็นค่า  $V_{25}$  ที่เพิ่มขึ้นเนื่องจาก Magnetoresistance  
แต่จากการทดลองพบว่าได้กราฟเป็นเส้นตรง หรือ  $\frac{dV_{25}}{dB}$  คงที่ แสดงว่าในขอบเขต  
ของความคลาดเคลื่อนจากการทดลองความผิดพลาดเนื่องจาก Magnetoresistance มีน้อยมาก  
เนื่องจากในที่นี้  $2b$  มีค่าน้อยมากนั่นเอง

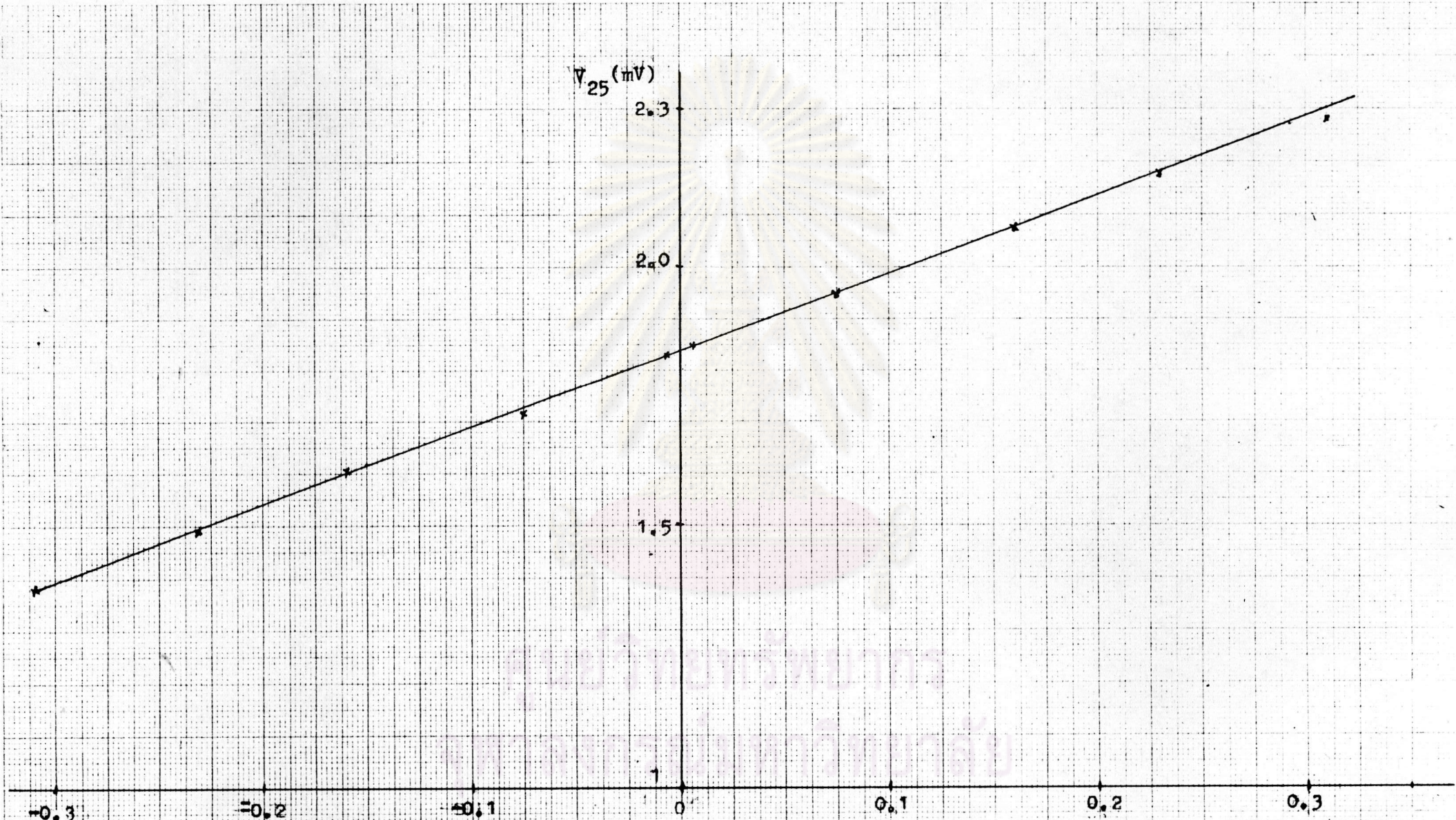
ส่วนการทดลองหา  $R_H$  แบบแวน เดอร์ เพาว์ โดยใช้  $R_{24, 35}$  ผลการ  
ทดลองแสดงในรูป (A 3) ในกรณีนี้เราได้

$$V_{35} = V_{35}(B=0) + aB - bB^2 \quad (A 3)$$

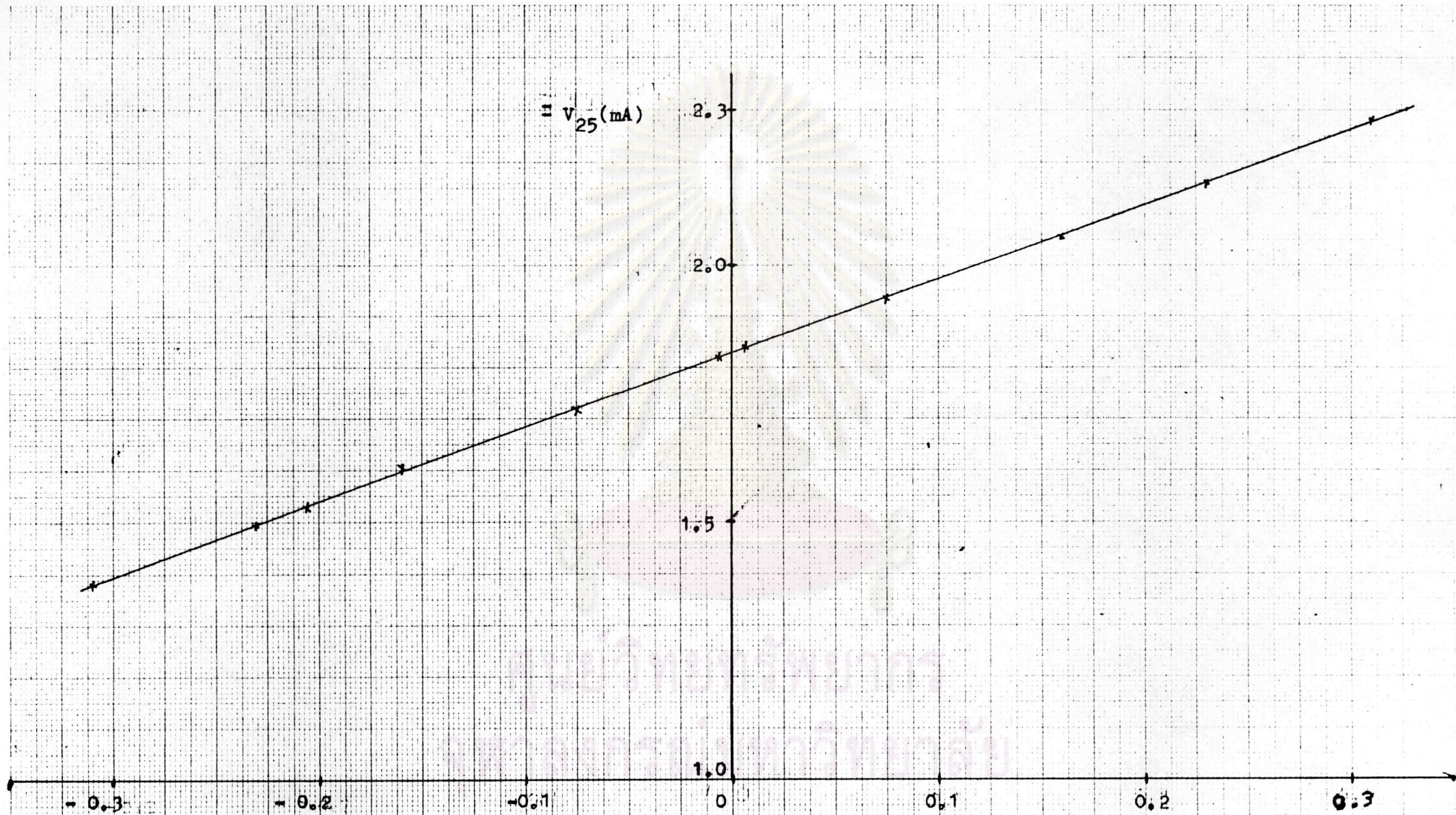
ซึ่งจะได้ว่า  $\frac{\Delta V_{35}}{\Delta B} = a - 2bB \quad (A 4)$

จะเห็นได้ว่าผลจาก magnetoresistance ทำให้  $\frac{\Delta V_{35}}{\Delta B}$  มีค่าน้อยลง ทั้งนี้เพราะ  
ค่า  $2b$  สำหรับจุด 35 มีค่ามากพอประมาณ จะส่งผลทำให้การคำนวณหาค่า

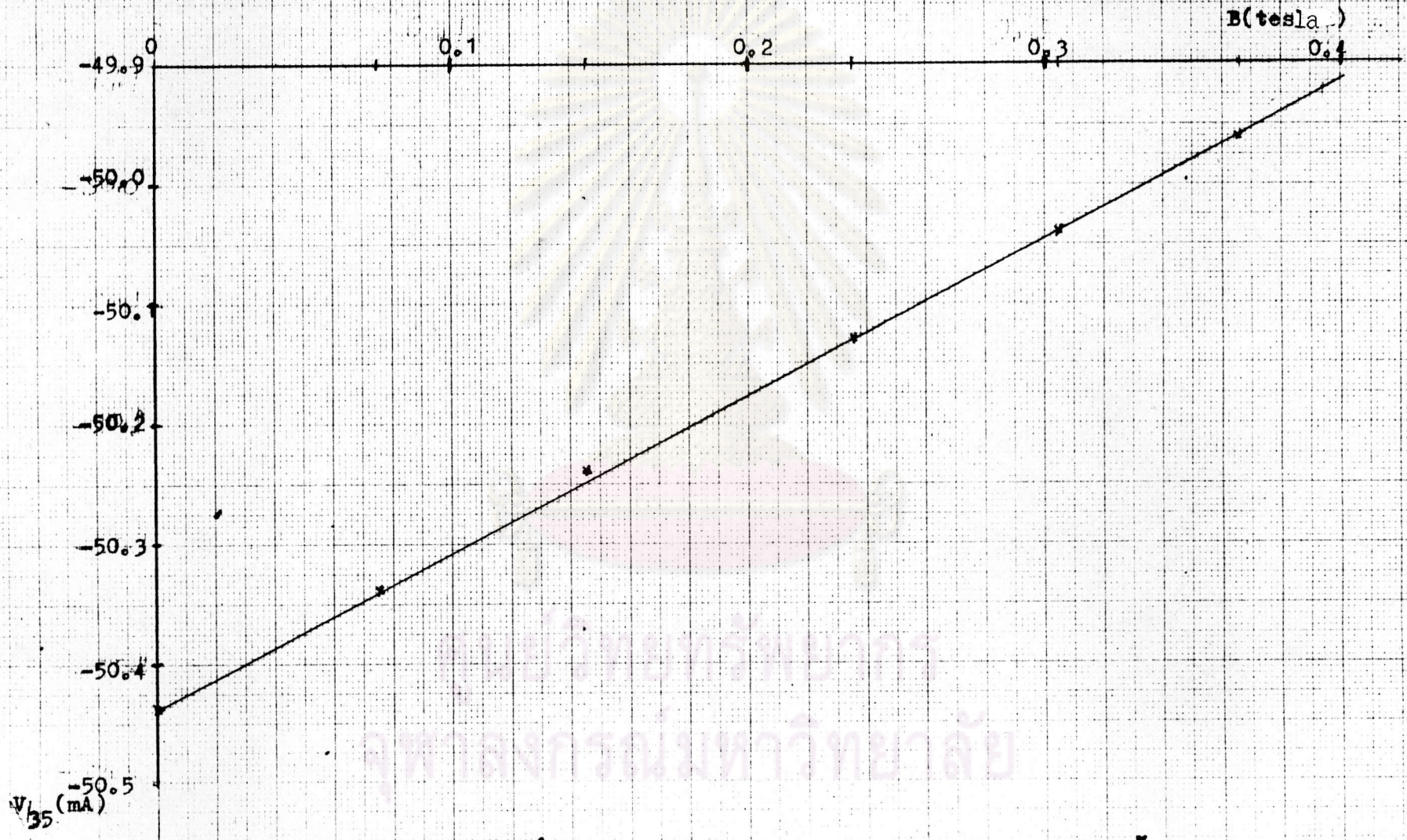
$$R_H = \frac{b\Delta V_{35}}{BI_{24}\Delta B} \quad \text{มีค่าน้อยลง จากรูป A3} \quad \text{เส้นกราฟที่ได้โค้งเล็กน้อย แสดงว่า}$$



รูปที่ 11 วัดค่า  $R_H$  โดยวิธีธรรมดา,  $I_{AB} = 1.000 \text{ mA}$



รูปที่ 22 โวลต์  $B_H$  โดยที่กระแส  $I_{BA} = 1.000 \text{ mA}$



รูปที่ A3 แสดงความสัมพันธ์ระหว่าง  $V_{35}$  กับ B เมื่อ  $I_{24} = 1.000 \text{ mA}$  จากวัด  $R_H$  โดยใช้  $R_{24,35}$

ค่า  $2b$  มีค่ามากพอสมควร จึงทำให้การวัด  $R_H$  แบบแวนเดอร์เพาว์ โดยใช้  $R_{24,35}$  มีค่าน้อยกว่าที่ควร ดังแสดงในตารางที่ (3.15) หน้า (56) จึงสรุปได้ว่าการใช้  $R_{24,35}$  วัด  $R_H$  นั้น ความคลาดเคลื่อนได้ค่า  $R_H$  น้อยกว่าที่ควร เนื่องจาก magnetoresistance ในเทอม  $B^2$  ส่วนหนึ่ง

จากผลการทดลองข้างบนสรุปได้ว่า ในการวัดค่า  $R_H$  ควรเลือกจุด  $ij$  ซึ่ง  $V_{ij}$  ใกล้เคียง 0 เมื่อ  $B = 0$  เพื่อหลีกเลี่ยงข้อผิดพลาดเนื่องจากเทอม  $B^2$  นี้



ศูนย์วิทยทรัพยากร  
จุฬาลงกรณ์มหาวิทยาลัย

## ภาคผนวก A2

ข้อการวัด  $\rho$  โดยเทคนิคเวนเตอร์เพอร์

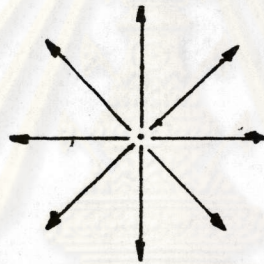
จากหัวข้อ (2. 2) เราสามารถหาค่า  $\rho$  โดยเทคนิคของเวนเตอร์เพอร์

ได้จากสมการ

$$\exp(- |R_{AB,CD}| b/\rho) + \exp(- |R_{BC,DA}| b/\rho) = 1 \quad (A5)$$

ในภาคผนวกนี้เราจะพิสูจน์ให้เห็นว่าสมการ (A5) ถูกต้อง และสามารถเข้ากับผลึกรูปร่าง  
อย่างใดก็ได้

เราจะพิจารณาในกรณีผลึกเป็นแผ่นเรียบบาง ๆ ขนาดใหญ่ มีกระแสไฟฟ้าไหล  
ออกมาจากจุดหนึ่ง (Source) บนระนาบ (plane) ของผลึกตั้งรูป (A4)



รูป (A4) แสดงทิศทางไหลของกระแสจาก Source

สมการแมกซ์เวลล์ (Maxwell's eq) จะได้ว่า

$$\vec{\nabla} \cdot \vec{B} = \vec{\nabla} \cdot \epsilon \vec{E} = \rho = 0 \quad (1)$$

$$\vec{\nabla} \times \vec{E} = - \frac{\partial \vec{B}}{\partial t} = 0 \quad (2)$$

$$\text{ได้ว่า } \vec{E} = - \vec{\nabla} V \quad (3)$$

$$\text{แทน (3) ใน (1) } \vec{\nabla} \cdot (-\vec{\nabla} V) = 0 \text{ ได้ } \nabla^2 V = 0 \quad (4)$$

$$\text{และ } \vec{j} = \sigma \vec{E} = -\sigma \vec{\nabla} V \quad (5)$$

จาก cylindrical coordinate

$$\nabla^2 V = \frac{1}{r} \frac{\partial}{\partial r} \left( r \frac{\partial V}{\partial r} \right) + \frac{1}{r^2} \frac{\partial^2 V}{\partial \theta^2} + \frac{\partial^2 V}{\partial z^2} = 0 \quad (6)$$

$$\vec{\nabla} V = \hat{r} \frac{\partial V}{\partial r} + \hat{\theta} \frac{\partial V}{\partial \theta} + \hat{z} \frac{\partial V}{\partial z} = -\frac{\vec{j}}{\sigma} \quad (7)$$

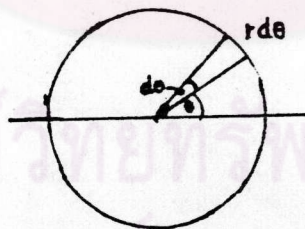
จาก (7) เราได้

$V \neq V(z)$  และ  $V \neq V(\theta)$  จาก เพราะ  $\vec{j}$  มีแต่ทิศทางของ  $r$

$$\text{จาก (7), } \frac{1}{r} \frac{\partial}{\partial r} \left( r \frac{\partial V}{\partial r} \right) = 0$$

$$\text{ได้ } r \frac{\partial V}{\partial r} = C, \quad V = C \ln r \quad (8)$$

พิจารณากระแสไฟฟ้าไหลจากจุดกำเนิด (Source) ของแผ่นผลึกหนา  $b$  และให้กระแสส่วนครึ่งบนเท่ากับ  $I$



$$\text{จาก (5), (8) } \vec{j} = -\sigma \frac{C}{r} \hat{r}$$

$$2I = \int_0^{2\pi} -\sigma \frac{C}{r} \cdot r d\theta \cdot b$$

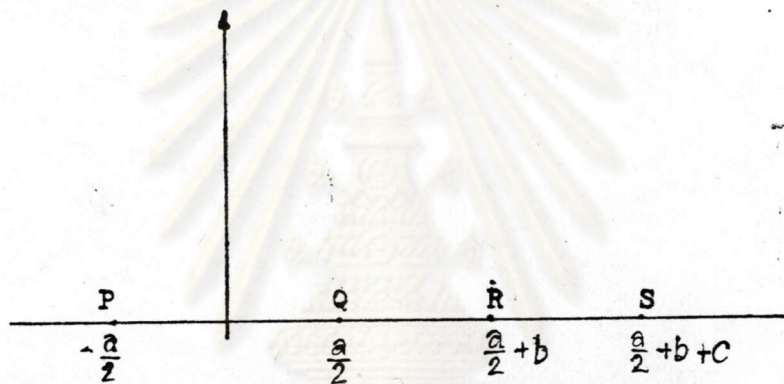
$$2I = -\sigma C b \cdot 2\pi \quad (9)$$

$$c = - \frac{I_0}{\pi b} \quad (10)$$

แทน (10) ลงใน (8) ได้

$$V = - \frac{I_0}{\pi b} \ln r$$

ถ้ามีกระแสเข้าจุด P และออกที่จุด Q ของแผ่นรูป half plane ซึ่งมีความหนา  $b$  ดังรูป A5



รูป A5 กระแสไหลเข้าจุด P และออกจุด Q เท่ากับ  $I$

จะได้ 
$$V = - \frac{I_0}{\pi b} \ln(r + \frac{a}{2}) + \frac{I_0}{\pi b} \ln(r - \frac{a}{2})$$

$$V = \frac{I_0}{\pi b} \ln \frac{r - \frac{a}{2}}{r + \frac{a}{2}} \quad (11)$$

ดังนั้น 
$$V_R = \frac{I_0}{\pi b} \ln \frac{b}{a + b} \quad \left[ r = \frac{a}{2} + b \right] \quad (12)$$

$$V_S = \frac{I_0}{\pi b} \ln \frac{b + c}{a + b + c} \quad \left[ r = \frac{a}{2} + b + c \right] \quad (13)$$

$$V_S - V_R = \frac{I_0}{\pi b} \ln \frac{(b+c)(a+b)}{b(a+b+c)} \quad (14)$$



จาก  $R_{PQ,RS} = \frac{V_S - V_R}{I_{PQ}}$  (14)'

$R_{PQ,RS} = \frac{\rho}{\pi b} \ln \frac{(a+b)(b+c)}{b(a+b+c)}$  (15)

ในทำนองเดียวกัน

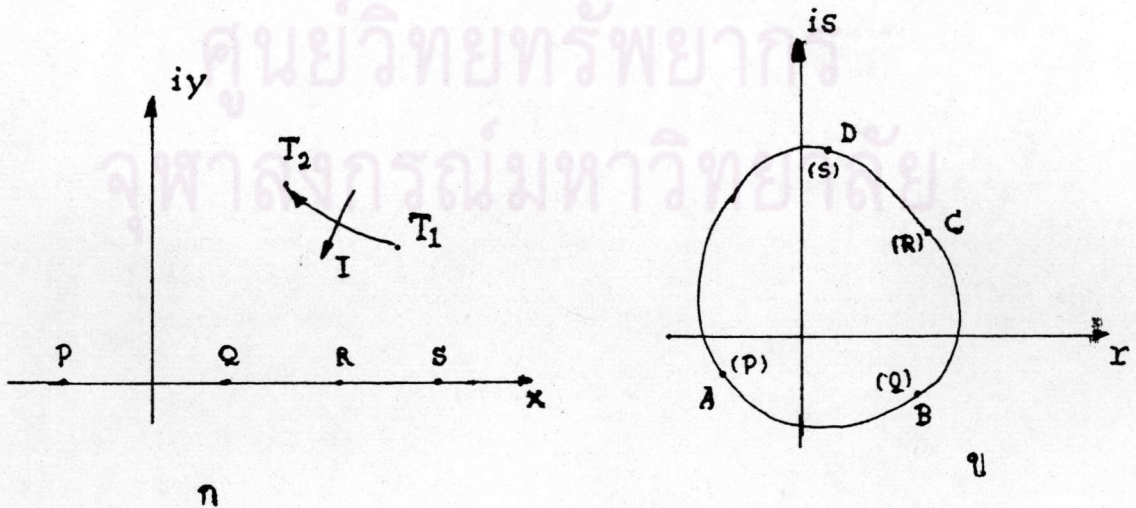
$R_{QR,SP} = \frac{\rho}{\pi b} \ln \frac{(a+b)(b+c)}{ca}$  (16)

จาก (15)  $\exp(-\pi b R_{PQ,RS} / \rho) = \frac{b(a+b+c)}{(a+b)(b+c)}$  (17)

จาก (16)  $\exp(-\pi b R_{QR,SP} / \rho) = \frac{ca}{(a+b)(b+c)}$  (18)

(17)+(18)  $\exp(-\pi b R_{PQ,RS} / \rho) + \exp(-\pi b R_{QR,SP} / \rho) = \frac{ca+b(a+b+c)}{(a+b)(b+c)}$

$\exp(-\pi b R_{PQ,RS} / \rho) + \exp(-\pi b R_{QR,SP} / \rho) = 1$  (19)



รูป A5 แสดงการ transform จากรูป ก เป็นรูป ข

ในกรณีที่ผลึกไมใช่แผ่นแบนใหญ่ที่มีขอบตรงดังรูป (ก) แต่เป็นแผ่นลักษณะดังรูป (ข) ถ้าเราทราบ  $V(x, y)$  ของแผ่นในรูป (ก) เราอาจใช้เทคนิคของ conformal mapping เปลี่ยน  $V(x, y)$  ให้เป็น  $v'(r, s)$  ซึ่งเป็นศักย์ไฟฟ้าที่จุดต่าง ๆ ของผลึกในรูป (ข) ได้ตามต้องการ

ขอให้พิจารณาระนาบเชิงซ้อน  $(x, y)$  เราอาจเขียนศักย์ไฟฟ้าเชิงซ้อน

$$\phi(z) = V(x, y) + v(x, y)i \quad (20)$$

โดย  $\phi(z)$  เป็น analytic function ซึ่งมี  $V(x, y)$  เป็นศักย์ไฟฟ้าที่จุดต่าง ๆ  $V$  และ  $v$  มีความสัมพันธ์ดังสมการ

$$\frac{\partial V}{\partial x} = \frac{\partial v}{\partial y} \quad \frac{\partial V}{\partial y} = - \frac{\partial v}{\partial x} \quad (21)$$

เราอาจพิสูจน์ได้ว่าแท้จริงเส้นโค้ง  $v(x, y)$  คงที่ ก็คือทางเดินของกระแสในแผ่นผลึกนั่นเอง

จากสมการข้างบนเราอาจหา  $v(x, y)$  ได้จาก  $V(x, y)$  ได้

พิจารณาคู่จุด  $T_1$  และ  $T_2$  ในระนาบ  $x, y$  อาจพิสูจน์ได้ว่ากระแสที่ไหลผ่านแนว  $T_1 T_2$  จากขวาไปซ้ายอาจเขียนได้เป็น

$$I_{T_1 T_2} = \frac{d}{\rho} \int_{T_1}^{T_2} \left( - \frac{\partial V}{\partial y} dx + \frac{\partial V}{\partial x} dy \right), \quad (22)$$

โดยอาศัยสมการ (21) เราได้ว่า

$$\begin{aligned} I_{T_1 T_2} &= \frac{d}{\rho} \int_{T_1}^{T_2} \left( \frac{\partial v}{\partial x} dx + \frac{\partial v}{\partial y} dy \right) = \frac{d}{\rho} \int_{T_1}^{T_2} dv \\ &= \frac{d}{\rho} \left[ v(T_2) - v(T_1) \right] \end{aligned}$$

$$\text{หรือ } \rho I_{T_1 T_2} / d = v(T_2) - v(T_1) \quad (23)$$

จากรูป (ก) ถ้าเราพิจารณาค่า  $v$  ตามแนวแกน  $x$  จาก  $-\alpha$  จนถึง  $+\alpha$  ทางซ้ายของจุด  $P$  ค่า  $v$  จะคงที่ แต่เมื่อผ่านจุด  $P$  ค่า  $v$  จะเพิ่มขึ้น  $Ip/d$  และมีค่าคงที่ไปจนถึงจุด  $Q$  ซึ่งเมื่อผ่านจุดนี้ ค่า  $v$  จะลดลงเท่ากับ  $Ip/d$  ทั้งนี้ เพราะมีกระแส  $I$  เข้าและออกจากผลึกที่จุด  $P$  และจุด  $Q$  นั้นเอง

ตามทฤษฎีโดยอาศัย analytic function

$$t(z) = r(x, y) + s(x, y)i$$

เราอาจ transform เส้น  $y = 0$  ที่ขอบของผลึกในระนาบเชิงซ้อน  $x, y$  ให้กลายเป็นขอบของผลึกในระนาบ  $r, s$  (รูป ข) ในการนี้จุด  $P, Q, R, S$  จะกลายเป็น  $A, B, C, D$  และศักย์ไฟฟ้าเชิงซ้อน  $\phi(z) = V(x, y) + iv(x, y)$  จะถูก transform กลายเป็น  $\phi(z(t)) = v'(r, s) + iv'(r, s)$  ซึ่งเป็นศักย์ไฟฟ้าเชิงซ้อนของผลึกในรูป (ข) ตามต้องการ

ถ้าเราพิจารณา  $v'$  ตามขอบของผลึกในทิศทวนเข็มนาฬิกาค่าของ  $v'$  ตอนแรกจะคงที่ แต่เมื่อผ่านจุด  $A$  จะเพิ่มขึ้น  $Ip/d$  และเมื่อผ่านจุด  $B$  จะลดลง  $Ip/d$  เช่นในกรณีก่อน ในทำนองเดียวกันถ้ากระแส  $I'$  เข้าสู่ผลึกที่จุด  $A$  และออกจากผลึกที่จุด  $B$  เราอาจเลือกให้  $I'\rho'/d' = Ip/d$  โดย  $\rho'$  และ  $d'$  เป็นสภาพต้านทานไฟฟ้าและความหนาของผลึกในระนาบ  $r, s$  ซึ่งจะได้ว่าความต่างศักย์  $V_D - V_C$  จะเท่ากับ  $V_S - V_R$

เปรียบเทียบกับสมการข้างบน (14') จะเห็นได้ว่าปริมาณ  $\frac{d}{\rho} R_{AB, CD}$  ไม่เปลี่ยนแปลงโดย transformation นี้ ซึ่งเช่นเดียวกับสมการ  $d/\rho R_{BC, DA}$  ดังนั้นสมการ (A5) จะใช้ได้สำหรับผลึกที่มีรูปร่างดังในรูป (ข) หรือผลึกที่มีรูปร่างทุกชนิด

เอกสารอ้างอิง

1. Kittel, C., Introduction to Solid State Physics. 2nd., New York : Wiley, 1956.
2. Ziman, J.M., Principle of the Theory of Solid, 2nd ed., London : Cambridge University Press, 1972.
3. Putley, E.H. "The Hall Effect and its Application" Contemp. Phys. 16 (1975) : 101- 25.
4. Reif, F. Fundamental of statistical and Thermal Physics, New York : McGraw-Hill, 1965.
5. Morin, F.J. and J.P., "Electrical Properties of Silicon Containing Arsenic and Boron," Physical review, 96(1954) : 28-35.
6. Van der Pauw, L.J. "A Measuring Specific Resistivity and Hall Effect of Discs of Arbitrary shape.", Philips Res. Repts. 13 (1958) : 1-9.

ศูนย์วิทยทรัพยากร  
จุฬาลงกรณ์มหาวิทยาลัย

ประวัติผู้เขียน

นายมนัส แซ่ตัน เกิดเมื่อวันที่ 24 กันยายน พ.ศ. 2498 ที่จังหวัดศรีสะเกษ  
สำเร็จการศึกษาวชิราวุธวิทยาลัย (ศึกษาศาสตร์) ที่มหาวิทยาลัยสงขลานครินทร์ ปีการศึกษา  
2520 ปัจจุบันเป็นอาจารย์สอนที่โรงเรียนเทพศิลา บางกะปิ กรุงเทพมหานคร



ศูนย์วิทยทรัพยากร  
จุฬาลงกรณ์มหาวิทยาลัย